

非線形緩勾配方程式を用いた碎波モデルの構築

有川太郎*・磯部雅彦**

1. はじめに

波動方程式による碎波現象の解析では、碎波点より減衰項を加え、強制的に波を減衰させる。減衰項の形は、変数の2階微分を用いる拡散型、および変数そのものによる抵抗型、また過剰運動量そのものを組み込んだ Schäffer et al. (1993) に代表されるようなモデルがある。拡散型、および抵抗型の場合、係数が必要になるが、その代表的な例として、Dibajnia・渡邊(1987)の f_D がある。しかし、 f_D は、時間平均された線形理論に基づいており、時々刻々の碎波過程を表現していない。

Schäffer et al. (1993) による方法は、碎波判定法に物理的な根拠はないが(灘岡ら、1996)，断面2次元問題においては碎波現象を良く表現している。しかし、断面の形に依存するために、平面問題への拡張が困難であると考えられる。それに対し、Nwogu (1996)，灘岡・大野(1997)は、渦動粘性係数を乱流方程式から求めることにより、碎波の再生条件などを用いることなく、碎波変形が計算できることを示している。しかし、碎波によって供給されるエネルギーの評価には不明な点が残る。また、バー型地形など波の再生が起こる場での実験値との比較はされていない。

本研究では、磯部(1994)の提案した非線形緩勾配方程式を用い、それに拡散型の減衰項を導入し、その係数をエネルギー逸散率と関係づけることにより求める。その上で、バー型地形を用いて、実験値との比較によりモデルの妥当性を検証する。

2. モデル方程式の導出

(1) 基礎方程式

速度ポテンシャル ϕ を既知の鉛直分布関数 $Z_a(z; h)$ により級数で近似し、

$$\phi(x, z, t) = Z_a f_a \quad (\alpha=1, \dots, N) \quad (1)$$

とする。ここで、 z は水表面を0とし、上向きを正とする鉛直座標、 $f_a(x, t)$ は未知変数、 x は水平座標、 t は時間、 $h(x)$ は静水深、 N は級数の項数であり、ギリシャ文

字の添え字に関しては、総和規約を適用する。さらに変分原理を用いて導かれた非線形緩勾配方程式(磯部、1994)に拡散型の減衰項を付加した式として、

$$Z_\beta \frac{\partial f_\beta}{\partial t} + g\eta + \frac{1}{2} \left(Z_\beta \frac{\partial f_\beta}{\partial x} \right)^2 + \frac{1}{2} \left(\frac{\partial Z_\beta}{\partial z} f_\beta \right)^2 + \frac{\partial Z_\beta}{\partial h} Z_\beta f_\beta \frac{\partial h}{\partial x} + M_D = 0 \quad (2)$$

$$Z_a \frac{\partial \eta}{\partial t} + \frac{\partial}{\partial x} \left(A_{ab} \frac{\partial f_b}{\partial x} \right) - B_{ab} f_b \\ + (C_{ba} - C_{ab}) \frac{\partial f_a}{\partial x} \frac{\partial h}{\partial x} + \frac{\partial Z_\beta}{\partial h} Z_\beta f_\beta \frac{\partial \eta}{\partial x} \frac{\partial h}{\partial x} = 0 \quad (3)$$

$$M_D = -\nu_f \frac{\partial^2 Z_a f_a}{\partial x^2} \quad (4)$$

を考える。ここで、

$$Z_a = \left(1 + \frac{z}{h} \right)^{2(\alpha-1)} \quad (5)$$

$$A_{ab} = \int_{-h}^h Z_a Z_b dz \quad (6)$$

$$B_{ab} = \int_{-h}^h \frac{\partial Z_a}{\partial z} \frac{\partial Z_b}{\partial z} dz \quad (7)$$

$$C_{ab} = \int_{-h}^h \frac{\partial Z_a}{\partial h} Z_b dz \quad (8)$$

となる。ただし、 ν_f の定義については後述する。また、 $Z_a^2 = Z_a|_{z=\eta}$ とする。

(2) 拡散係数 ν_f のモデル化

式(2)が力学的境界条件と等価であることを念頭において、流線方向を s とし、その s 方向に微分する。すると式(2)は、流線方向の速度を v_s として、

$$\frac{\partial v_s}{\partial t} + \frac{\partial}{\partial s} \left(\frac{1}{2} v_s^2 \right) + g \frac{\partial \eta}{\partial s} + \frac{\partial M_D}{\partial s} = 0 \quad (9)$$

となる。ただし、底面勾配の影響を表す式(2)の5項は無視した。式(9)は、微小長さ ds 当たりに損失 dM_0 がある場合の式に相当する。

ところで、2次元定常の場合の碎波によるエネルギーの変化率は、

$$\frac{dE C_g}{dx} = - \left[\frac{dE}{dt} \Big|_{z=-h} + \frac{dE}{dt} \Big|_{z=\eta} \right] \quad (10)$$

* 学生会員 修(工) 東京大学大学院 工学系研究科社会基盤工学専攻

** フェロー 工博 東京大学教授 工学系研究科社会基盤工学専攻

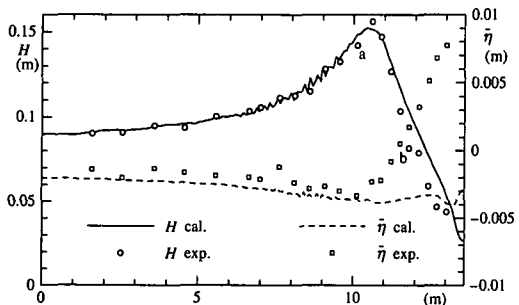


図-2 波高および平均水深の変化

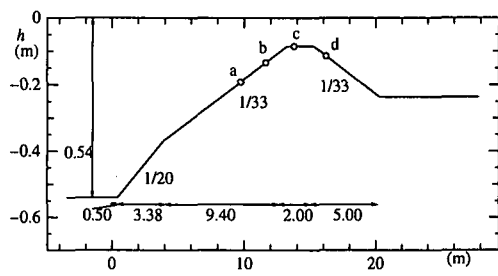


図-4 実験条件

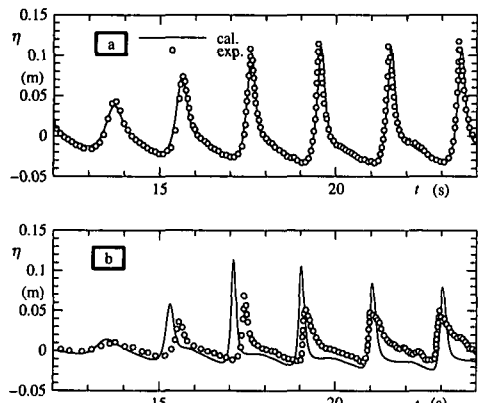


図-3 波形の比較

b) 実験値との比較 図-2は波高および平均水深の比較である。これによると、波高の変化については、全体的に良い精度で計算できている。しかし、平均水深に関しては、wave set-up がほとんど起きていないことが分かる。これに対する原因は定かではないが、境界の問題ではないかと考えている。

図-3は時系列波形の比較である。a点、b点はそれぞれ図-2の点に相当する。水深はa点が0.17(m)、b点が0.09(m)である。碎波点付近の波形の変化は、精度良く解析できていることがわかる。しかし、碎波後については、実験の波形に比べて尖り過ぎる傾向が見られる。

(3) バー型地形

a) 諸条件 実験は Schäffer et al. (1993) を用いる(図4)。波の周期、および波高は、1.6(s)、および0.12(m)の規則波である。パラメタに関しては表-3のようにした。

表-3 パラメタ (Schäffer (1996)) のケース

γ_{w_f}	γ_t	γ_{t2}
0.35	0.05	1.5

b) 実験値との比較 図-5は、波高および平均水

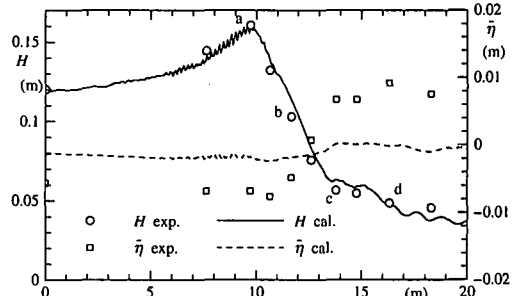
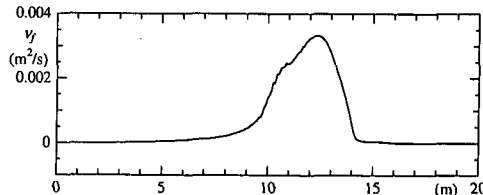
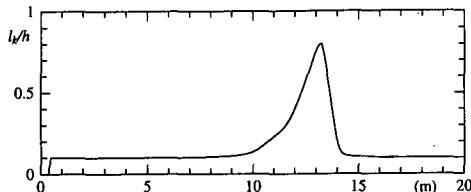
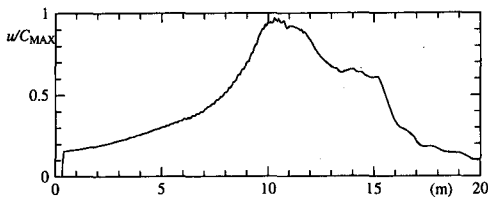


図-5 波高および平均水深の比較

図-6 v_f の1周期平均

深の比較である。これによると、波高の変化については、実験とよく一致している。しかし、平均水深については、一様勾配斜面の結果同様に、ほとんど、set-up も set-down も見られず、実験値の1/5程度の値となっている。

また、図-6は、減衰係数 v_f の1周期平均をとったものである。従来の、Dibajnia・渡邊(1987)による f_d の方法では、波の反射を防ぐために、係数を碎波点より徐々に大きくしていたが、そのようなことを用いることなしに、徐々に v_f が大きくなっていることがわかる。また、波の再生領域においても、これまでのような経験則を用いることなしに、 v_f が小さくなっている。図-7は、乱れの代表長さである式(34)の係数部分の1周期平均である。これは、Cox et al. (1994)が実験で得た値よりも大きな値となっているが、碎波点から変形していくにつれ、係数が大きくなるという特徴は良く表れていることがわかる。図-8は、流速・波速比 u_s/C の各点での1周期の間での最大値である。これを見ると、 v_f がほぼ0になつた14(m)近辺では、流速・波速比は0.6程度の値となつた。

図-7 l_k/h の 1 周期平均図-8 u_s/C の 1 周期での最大値

ている。磯部(1986)によると、再生条件に $U/C=0.135$ を用いているが、非線形性を考慮した場合はこれより大きな値をとるべきであることがわかる。

最後に、時系列波形を、図-4での a, b, c, および d 点で比較する。それぞれ、水平座標が 9.78 (m), 11.78 (m), 13.78 (m), 16.28 (m) である。碎波点付近の a 点においては、一様勾配斜面の結果と同様に精度良く計算している。しかし、b 点、c 点では、計算の方が尖っている。また、d 点では、実験値の方では、2 次波峰が発生しているが、計算ではその発達が良く見られない。これに関しては、もう少しモデルの改良が必要であると考えている。

6. 結 語

非線形緩勾配方程式に拡散型の減衰項をくわえることにより、碎波減衰を表現した。その際、減衰係数の評価をエネルギーの逸散率と関係づけることから求められることを示した。また、そのモデルの妥当性を示すために、バー型地形を用いて、実験値と比べたところ、波高の変化においては、良い精度で求められることが確認された。しかし、波形については、碎波帯内では実験より尖る傾向にあり、また、平均水深も実験より小さくなるという問題もある。さらに、パラメタについても、どのように定めるかということが今後の課題になる。

しかし、これまでのような経験則を用いずに碎波減衰係数の評価ができ、本モデルの妥当性が確かめられた。

参 考 文 献

有川太郎・磯部雅彦(1997): 非線形緩勾配方程式を用いた碎波判定法の適用性、海岸工学論文集、第 44 卷(1), pp. 91-95.

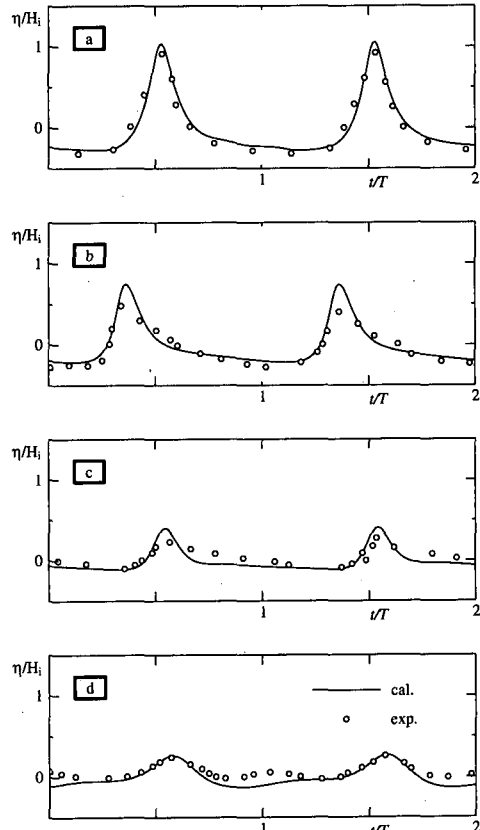


図-9 波形の比較

磯部雅彦(1986): 放物型方程式を用いた不規則波の屈折・回折・碎波变形の計算法、第 33 回海岸工学講演会論文集, pp. 134-138.

磯部雅彦(1994): 非線形緩勾配波動方程式の提案、海岸工学論文集、第 41 卷(1), pp. 1-5.

灘岡和夫・大野修史・栗原 札(1996): 波動場の力学状態に基づく碎波過程の解析と碎波条件、海岸工学論文集、第 43 卷(1), pp. 81-85.

灘岡和夫・大野修史(1997): 水深積分型乱流エネルギー輸送方程式を連結させた碎波帯内波動場モデルの提案、海岸工学論文集、第 44 卷(1), pp. 106-110.

Dibajnia, M.: 渡邊 見(1987): 波浪場と海浜横断地形変化的数値計算モデル、第 34 回海岸工学講演会論文集, pp. 291-296.

Cox, D. T., N. Kobayashi, and A. Okayasu(1994): Vertical Variation of Fluid Velocities and Shear Stress in Surf Zone, Proc. 24th ICCE, pp. 98-112.

Méhauté, B. L.(1963): On Non-Saturated Breakers And The Wave Run-Up, Proc. 8 th ICCE, pp. 77-92.

Nwogu, O. G. (1996): Numerical Prediction Of Breaking Waves And Currents With Boussinesq Model, Proc. 25th ICCE, pp. 4807-4820.

Schäffer, H. A., P. A. Madsen and R. Deigaard(1993): A Boussinesq model for waves breaking in shallow water, Coastal Engineering, vol. 20, pp. 185-202.